

# طراحی، شبیه‌سازی و آنالیز فرایند تولید برآمدگی لوله به روش شکل دهی انفجاری

مهدی ظهور<sup>\*</sup> (دانشیار)

محمد رضوانی (دانشجوی کارشناسی ارشد)

دانشکده مهندسی مکانیک، دانشگاه صنعتی خواجه نصیرالدین طوسی

این تحقیق به منظور طراحی، آنالیز و تولید برآمدگی لوله به روش شکل دهی انفجاری با واسطه‌ی آب انجام شد. همچنین اثر پارامترهای فرایند بر روی کیفیت محصول مورد مطالعه قرار گرفت. بعد از انتخاب ماده‌ی منفجره و با استفاده از روش‌های عددی، داکلاس<sup>[۱]</sup> و انرژی<sup>[۲]</sup>، مقدار ماده‌ی منفجره مورد نیاز برای تغییر شکل انفجاری محاسبه شد. برای ساخت محصول مورد نظر به روش فیزیکی، یک سری قالب و چیدمان ماده‌ی منفجره طراحی شد. همچنین به منظور مدل‌سازی فرایند تغییر شکل انفجاری، از نرم‌افزارهای AUTOCAD و HYPERMESH استفاده شد. سپس، برای شبیه‌سازی و آنالیز فرایند انفجاری به روش اجزاء محدود، از نرم‌افزار LS-DYNA استفاده شد. سرانجام، اعتمارستنجی نتایج عددی به دست آمده، با استفاده از روش داکلاس و روش انرژی صورت گرفت.

**واژگان کلیدی:** برآمدگی لوله، شکل دهی انفجاری، ماده‌ی منفجره، روش اجزاء محدود، روش داکلاس، روش انرژی.

## مقدمه

انبساطی و اندازه‌زنی از نوع فولاد گداخته یا ریخته شده پیشنهاد شد. در عملیات کشش انتخاب ماده‌ی قالب بستگی به عوامل متعدد — از جمله شعاع و تولرانس‌های ابادی — دارد، ولی برای شکل دهی موادی با استحکام بالاتر از ۳۷۵ مگاپاسکال، فولادهای ریخته شده پیشنهاد شده است. برای زمانی که تعداد قطعات کمتر از ۲۰ عدد و استحکام کششی در محدوده‌ی ۳۷۵-۲۰۰ مگاپاسکال باشد یک نوع آلیاژ ریخته شده پایه‌رویی و برای تعداد قطعات کمتر از ۱۰ عدد مواد ضعیف‌تری چون رزین‌های اپوکسی<sup>[۱]</sup> پیشنهاد شده است.

پژوهش‌گران در مقالات خود مفصل‌آمیز و روش‌های استفاده از مواد اپوکسی در تهیه قالب‌های انفجاری را تشرییح کرده‌اند.<sup>[۷]</sup> به باور آنان، با ظهور فناوری جدید مواد بسپاری، استفاده از قالب‌های ریخته شده فلزی، هیچ‌گونه توجیه اقتصادی و فنی ندارد. بسپارها به طور کامل یا به عنوان پوشش قالب می‌توانند تا ۹۰ درصد جایگزین مواد قبلی شوند.

در سال ۱۹۶۴ میلادی، بلازینسکی در مقاله‌یی به اهمیت طراحی دقیق قالب‌ها اشاره کرد و نوشت: «برگشت فنری بستگی به توازن مناسب شکل قالب، پرهیز از لبه‌های تیز و شیارهای عمیق و باریک، و اجتناب از تغییرات تن و ناگهانی در شکل دارد. با افزایش مقدار خرج، برگشت فنری کاهش می‌یابد اما هرگز به صفر نمی‌رسد».<sup>[۸]</sup>

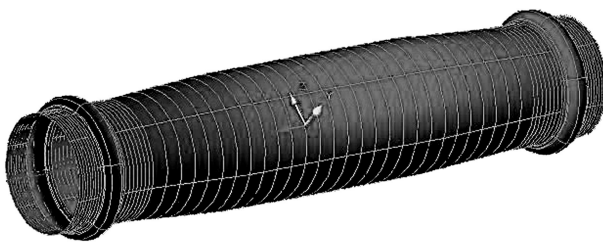
برای به دست آوردن میران خرج مورد نیاز به منظور شکل دهی لوله‌های استوانه‌یی توحالی، آزمایشی انجام شد که به نتایجی مطلوب منتهی شد.<sup>[۱]</sup> در بحث شکل دهی، آنچه که باعث انجام کار می‌شود موج شوک<sup>۲</sup> است. مزیت شکل دهی انفجاری

روش انفجاری یکی از روش‌های تولید با نزدیکی از زمینه است.<sup>[۲]</sup> امروزه بسیاری از قطعات تجاری و نظامی با این روش تولید می‌شوند. «شکل دهی انفجاری» فرایندی است که در آن ماده‌ی منفجره در فاصله‌ی معینی از قطعه‌کار قرار می‌گیرد و انرژی آزادشده حاصل از انفجار، از طریق یک محیط واسطه — مانند هوا، روغن، یا آب — به قطعه‌کار منتقل می‌شود. اگرچه شروع فعالیت‌های مختلف در زمینه‌ی شکل دهی انفجاری به چندین دهه‌ی قبل بر می‌گردد، تکنولوژی آن — به دلیل کاربرد نظامی — استفاده‌ی همگانی نداشته است. تحقیقات در این زمینه به روش عملی و شبیه‌سازی رایانه‌یی بوده است. در سال ۱۹۸۴ بعضی از این روش‌های تولید مقایسه شده است.<sup>[۴]</sup> این روش‌ها از نقطه نظر سرمایه‌گذاری، نوع و میران مصرف مواد و انرژی، زمان تولید و کیفیت محصول بررسی شدند. مزایای بیان شده برای شکل دهی انفجاری عبارت است از: کم‌بودن هزینه سرمایه‌گذاری اولیه، کم‌بودن تعداد عملیات، و صرفه‌جویی ۱۰ الی ۲۰ درصدی در مواد به دلیل پایین بودن مقدار ضایعات مواد و پایین بودن هزینه‌ی انرژی است.

در سال ۱۹۶۳ میلادی مزایای شکل دهی انفجاری به صورت صرفه‌جویی قابل توجه در هزینه‌های قالب‌سازی، قابلیت تولید شکل‌های پیچیده، تولید قطعات بسیار بزرگ، کاهش تعداد فرایندهای باز پخت، کاهش زمان شکل دهی و برگشت فنری کم تر، دسته‌بندی شد.<sup>[۵]</sup> در سال ۱۹۶۰ جنس قالب‌های انفجاری مورد بررسی قرار گرفت.<sup>[۶]</sup> در این بررسی‌ها جنس قالب‌های انفجاری مورد استفاده در عملیات

\* نویسنده مسئول

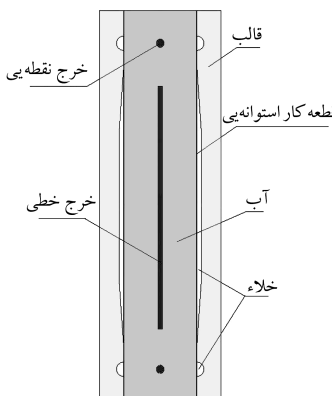
تاریخ: دریافت ۱۰ آذر ۱۳۸۹، اصلاحیه ۱۶، ۳، ۱۳۹۰، پذیرش ۲۲ آذر ۱۳۹۰.



شکل ۱. قطعه‌ی تولید شده (برآمدگی لوله).

جدول ۱. خواص مکانیکی فلزات به کار رفته در آنالیز.<sup>[۳]</sup>

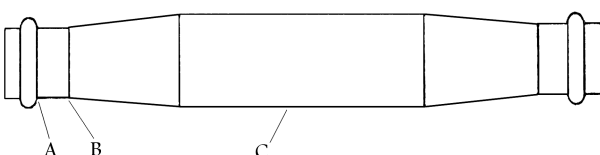
ضریب کرش سختی $\sigma_y$ (Mpa)	توان کرش سختی $n$	تنش سلسیم $K$ (Mpa)	جنس قطعه کار
۲۷۶	۰,۴۵	۱۲۷۵	فولاد زنگ نزن (SS۲۲۱)
۱۵۵	۰,۲	۲۰۵	آلومینیوم (Al-۶۰۶۱)



شکل ۲. نحوه قرارگیری قطعه‌ی اولیه در قالب و خروج گذاری سیستم.

جدول ۲. خواص کاربردی مواد منفجره.<sup>[۲]</sup>

نام تجاری	نام شیمیابی	تری نیترو تولوئن	پنتا اریتول تترانیترات	PETN	TNT
انرژی ویژه $\alpha$ (J/kg)		۱۳۰۰	۷۸۰		
حداکثر فشار (GPa)		۲۲/۱	۱۶,۵		
سرعت انفجار (m/s)		۸۲۹۰	۷۰۱۰		
چاشنی مورد نیاز		No.۶	j-۲		



شکل ۳. نمایش ابعاد سه قسمت مهم در نقشه مهندسی قطعه.<sup>[۱]</sup>

عبارت است از: نزدیکی لحظه‌یی<sup>۳</sup>، بارگذاری لحظه‌یی<sup>۴</sup>، زمان تولید بسیار کم آن و عدم نیاز به دستگاه‌های شکل دهنده سنتی مانند پرس، سنبه و غیره.<sup>[۲]</sup>

«شکل دهنده انفجاری» اصطلاح وسیعی است که بسیاری از متغیرهای فرایند را پوشش می‌دهد. این روش در اواخر قرن نوزدهم و اوایل قرن بیست در صنعت ظاهر شد. کاربردهای موقوفیت‌آمیز این روش بعد از سال ۱۹۷۰ به صورت محصولات آلومینیومی و فولادی به بازار آمد.<sup>[۹]</sup> پژوهش‌گران یک قطعه‌ی آلومینیومی مدور را به روش شکل دهنده آزاد انفجاری شیوه‌سازی کردند.<sup>[۱۰]</sup> طبق گزارش آن‌ها، نتایج شبیه‌سازی در همه‌ی فرایندهای شکل دهنده‌ی انفجاری کاربرد دارد. به منظور مطالعه و کسب اطلاعات در مورد تولید قطعات توالی از طریق تغییر شکل انفجاری، یک لوله‌ی جدار نازک تحت فشار انفجاری مورد آنالیز قرار گرفت.<sup>[۱۱]</sup> مقدار جذب انرژی لوله‌های دایره‌بی و مربعی شکل از جنس آلیاژ آلومینیوم به کمک بارگذاری انفجاری تخمین زده شده است.<sup>[۱۲]</sup> در سال ۲۰۱۰، به منظور ساخت عدسی‌های لبه‌دار از آلومینیوم به روش شکل دهنده‌ی انفجاری، ابتدا ساخت افزاری طراحی و تهیه شد<sup>[۱۳]</sup> و سپس مطالعه در مورد ابعاد ورق، شکل‌گیری عدسی‌ها و توزیع کرشش به کسب نتایج مناسبی منجر شد.

پژوهش‌گران ایرانی نیز برای بالابردن چگالی و سختی پودر تنگستن و آلیاژهای آن، از فرایند شکل دهنده‌ی انفجاری به طور عملی استفاده کردند و نتایج تجربی خود را با شبیه‌سازی عددی مقایسه کردند.<sup>[۱۴]</sup> آن‌ها نشان دادند که فرایند شکل دهنده‌ی انفجاری در مقایسه با سایر روش‌ها، به افزایش چگالی و سختی بیشتر در تنگستن و آلیاژهای آن می‌انجامد. آنان در سال ۲۰۰۷، برای تعیین سرعت موج شوک لازم در فرایند متالورژی پودر انفجاری — به عنوان یکی از پارامترهای اساسی مؤثر بر فرایند — با استفاده از معادله‌ی هاگونیوت پودر تنگستن، یک روش تحلیلی ارائه دادند و رابطه‌بی تحلیلی برای انتخاب نوع ماده‌ی منفجره به دست آورden.<sup>[۱۵]</sup> در سال ۲۰۰۹ نیز مطالعاتی پیرامون تغییر شکل در صفحه‌های فولادی مدور با استفاده از فرایند تغییر شکل انفجاری زیر آب انجام،<sup>[۱۶]</sup> و نتایج آن با نتایج نظری مقایسه شد. آن‌ها نتیجه گرفتند که معادله‌ی تحریکی راجه‌دران برای محاسبه‌ی میزان انحراف در صفحه‌های فولادی مناسب‌ترین معادله است.

## تعريف مسئله و ابعاد قطعه

قطعه‌ی مورد نظر، یک برآمدگی لوله (شکل ۱)، از جنس فولاد زنگ نزن ۳۲۱ است.<sup>[۱]</sup> در تحلیل عددی، علاوه بر فولاد زنگ نزن ۳۲۱، از آلومینیوم ۶۰۶۱ نیز استفاده شده است. خصوصیات مکانیکی فلزات مورد استفاده در جدول ۱ ارائه شده است. طبق شکل ۲، لوله‌ی استوانه‌بی به عنوان قطعه کار در قالب قرار داده شد و داخل آن از آب (محیط واسطه) پر شد. در محل برآمدگی سر لوله، خروج نقطه‌بی و در وسط آن خروج خطی قرار داده شد. انتخاب شکل خروج با توجه به طول شکل دهنده‌ی صورت گرفته است. خواص مواد منفجره‌ی مورد استفاده در جدول ۲ آمده است.

بعاد سه قسمت از قطعه کار (A, B و C)، که مبنای طراحی در نقشه‌ی مهندسی است در شکل ۳ نشان داده شده است. این ابعاد همراه با تولرانس مورد نظر در جدول ۳ ارائه شده است. علاوه بر این، ابعاد میانگین ۲۵ قطعه‌ی تولید شده با روش انفجاری، در جدول ۳ آمده است.<sup>[۱]</sup>

با توجه به متقاضیان بودن لوله نسبت به محور  $y$ ، در تحلیل اجزاء محدود از روش تقارن محوری استفاده شد. تقارن نسبت به محور  $x$  نیز در نظر گرفته شد و یک چهارم قطعه مدل سازی شد.

۷ و ۸ مربوط به قسمت وسط به صورت انبساط حلقوی در نظر گرفته شده است.

$$U = \frac{K_1}{n+1} \varepsilon_{eff}^{n+1} = \frac{\pi K S}{n+1} (D-t) t \left[ \ln \frac{D_d}{D} \right]^{n+1} \quad (4)$$

$$\varepsilon_{eff} = \left[ \frac{2}{3} (\varepsilon_t + \varepsilon_r + \varepsilon_\theta) \right]^{\frac{1}{n+1}} \quad (5)$$

$$\varepsilon_{eff} = \varepsilon_\theta = \ln \frac{D_d}{D} \quad (6)$$

$$\varepsilon_t = \ln \frac{t_1}{t_2} = \ln \frac{A_1}{A_2} \quad (7)$$

$$\varepsilon_\theta = \varepsilon_r = -0.5\varepsilon_t \quad (8)$$

$$W_L = E_L = \eta w \alpha \quad (9)$$

### محاسبه‌ی ابعاد قالب

شعاع خارجی قالب با استفاده از رابطه‌های ۱۰ و ۱۱، و اعمال ضریب اطمینان ۱۵ به دست می‌آید (داگلاس مقدار ضریب اطمینان را برابر ۱۰ پیشنهاد کرده است).<sup>[۱]</sup>

نتایج ابعاد قالب در جدول ۴ آرائه شده است.

چنان‌که مشاهده می‌شود، تغییر جنس قطعه‌کار تأثیر چشمگیری بر ضخامت کمینه‌ی قالب نداشته است، زیرا ضخامت بسیار کم قطعه‌کار باعث کم رنگ‌شدن اثر جنس قطعه‌کار می‌شود.

$$\sigma_t = \frac{\sigma_y}{X} \quad (10)$$

$$R_o = R_i \left[ \frac{\sigma_t + P_{ex}}{\sigma_t - P_{ex}} \right]^{0.5} \quad (11)$$

بنابراین ضخامت دیواره‌ی قالب از رابطه‌ی ۱۲ به دست می‌آید:

$$T = R_o - R_i \quad (12)$$

### آنالیز عددی

برای تحلیل عددی، ابتدا هندسه‌ی قطعه‌کار به صورت تقارن محوری در نظر گرفته شد. با استفاده از نرم‌افزار ۵-۲۰۰۰ AUTOCAD، مختصات مدل به دست آمد، و از آن در نرم‌افزار Hypermesh برای ساختن نیمه‌ی مدل استفاده شد. سپس با انتخاب اجزاء پوسته‌ی ۵، عمل مش‌بندی انجام گرفت. برای تأیید مش حاصل، از پارامترهای کنترل‌کننده‌ی چون ژاکوبین<sup>۶</sup> و نسبت ابعادی<sup>۷</sup> استفاده شد.<sup>[۱۳]</sup> به‌منظور استفاده از مدل تهیه‌شده در نرم‌افزار LS-DYNA، فایل هندسه‌ی به دست آمده با پسوند «.k» ذخیره شد. در مرحله‌ی بعد، کدنویسی صریح در نرم‌افزار LS-DYNA انجام شد و در انتهای کد نیز هندسه‌ی مدل شده فراخوانی، و آنالیز لازم انجام شد. بسته‌ی نرم‌افزاری LS-DYNA یک نرم‌افزار عمومی برای شبیه‌سازی پیش‌رفته‌ی چندمنظوره است که توسط شرکت LSTC نوشته شده است. این نرم‌افزار از قابلیت‌های

جدول ۴. نتایج مربوط به ابعاد قالب.

کم‌ترین قطر خارجی قالب، (mm) $R_o$	کم‌ترین ضخامت قالب در قسمت (C)، (mm) $T$	نوع قطعه‌کار
۲۶۶	۷۴۸	فولاد
۲۶۳	۷۴۲	آلومینیوم

جدول ۳. ابعاد نقشه‌هی مهندسی و نتایج آزمایش عملی (mm).<sup>[۱]</sup>

موقعیت روی شکل ۳	ابعاد نقشه‌هی مهندسی	ابعاد بعد از تغییر شکل فیزیکی قطعه ۲۵	میانگین بیشینه کمینه
قطر داخلی A	۹۰,۱۷۰±۰,۲۵۴	۹۰,۲۲۶	۹۰,۴۲۲
قطر داخلی B	۸۶,۶۱۴±۰,۲۵۴	۸۶,۸۱۷	۸۶,۹۴۴
قطر خارجی C	۱۰,۱,۶۰۰±۰,۷۶۲	۱۰,۱,۱۹۴	۱۰,۱,۳۴۶

### محاسبه‌ی جرم خرج

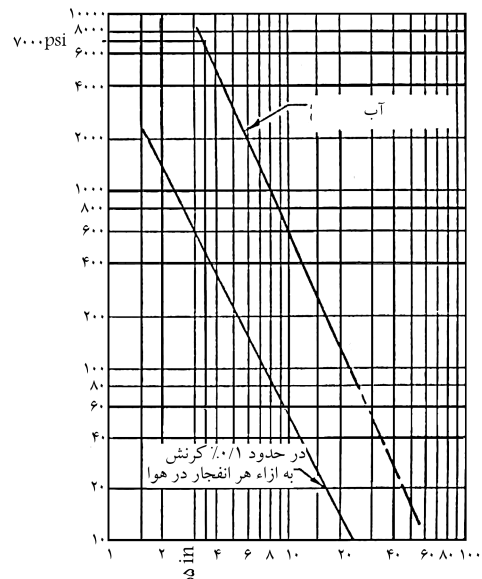
روش داگلاس: در این روش برای محاسبه‌ی کم‌ترین جرم خرج مورد نیاز، با استفاده از رابطه‌ی ۱ فشار استاتیک  $P_y$  محاسبه می‌شود و با اعمال ضریب تصحیح  $K_1$  به معادل دینامیکی  $(P_{ex})$  تبدیل می‌شود (رابطه‌ی ۲). از تقسیم فشار معادل  $(P_{ex})$  به فشار حاصل از نمودار داگلاس (P) (شکل ۴)، جرم ماده‌ی منفجره به دست می‌آید (رابطه‌ی ۳).<sup>[۲۰]</sup>

$$P_y = \frac{2 \times \sigma_y \times t}{D} \quad (1)$$

$$P_{ex} = K_1 \times P_y \quad (2)$$

$$w = \frac{P_{ex}}{P} \quad (3)$$

روش انرژی: در روش انرژی کرنش، با استفاده از رابطه‌های ۴ تا ۸، انرژی کرنش مورد نیاز (U) برای تغییر شکل دو قسمت سر و سطح قطعه به‌طور جداگانه به دست می‌آید. سپس این مقدار را برابر با انرژی ویژه‌ی آزاد شده توسط خرج قرار می‌دهیم (رابطه‌ی ۹). بدین‌ترتیب، مقدار جرم خرج از روش انرژی کرنش نیز به دست می‌آید.<sup>[۲۱]</sup> رابطه‌ی ۶ مربوط به قسمت سر به صورت خرج‌گذاری کروی و رابطه‌های



شکل ۴. نمودار داگلاس.<sup>[۱]</sup>

جدول ۵. نتایج آنالیز عددی فرایند تغییر شکل انفجاری (خرج: PETN).

شماره چیدمان	جرم خرج	جرم خرج قسمت	سر (گرم)	جنس قطعه کار	وضعیت تغییر شکل	وضعیت تغییر شکل	قسمت سر (%)	قسمت وسط (%)
۱	۱	۱	۱/۳	ST	۱۰۰	۱۰۰	۱۰۰	۰
۲	۲	۵	۱	ST	پارگی رخ می‌دهد	پارگی رخ می‌دهد	۸۴	۱۰۰
۳	۳	۱/۳	۰/۵	ST	۹۴	۱۰۰	۱۰۰	۰
۴	۴	۳	۰/۵	AL	۸۵	۱۰۰	۱۰۰	۰
۵	۵	۰/۲	۰/۴	AL	۱۰۰	۱۰۰	۱۰۰	۰
۶	۶	۰/۵	۰/۴	AL	۷۰	۱۰۰	۱۰۰	۰
۷	۷	۰/۱	۰/۳	AL	۷۵	۱۰۰	۱۰۰	۰
۸	۸	۰/۲	۰/۳	AL	۱۰۰	۱۰۰	۱۰۰	۰
۹	۹	۱۰	۱	AL	۱۰۰	۱۰۰	۱۰۰	۰

جدول ۶. نتایج آنالیز عددی فرایند تغییر شکل انفجاری (خرج: TNT).

شماره چیدمان	جرم خرج	جرم خرج قسمت	سر (گرم)	جنس قطعه کار	وضعیت تغییر شکل	وضعیت تغییر شکل	قسمت سر (%)	قسمت وسط (%)
۱۰	۱۰	۲/۵	۱	ST	۱۰۰	۱۰۰	۱۰۰	۰
۱۱	۱۱	۵	۱	ST	پارگی رخ می‌دهد	پارگی رخ می‌دهد	۸۲	۱۰۰
۱۲	۱۲	۱/۳	۰/۵	ST	۸۲	۹۲	۱۰۰	۰
۱۳	۱۳	۳	۰/۵	ST	۹۲	۱۰۰	۱۰۰	۰
۱۴	۱۴	۰/۴	۰/۶	AL	۸۲	۸۲	۱۰۰	۰
۱۵	۱۵	۰/۷	۰/۶	AL	۱۰۰	۱۰۰	۱۰۰	۰
۱۶	۱۶	۰/۳	۰/۴	AL	۶۸	۸۲	۸۲	۰
۱۷	۱۷	۰/۴	۰/۴	AL	۷۱	۸۲	۸۲	۰
۱۸	۱۸	۱۰	۱	AL	۱۰۰	۸۲	۸۲	۰

جدول ۷. نتایج مربوط به محاسبه جرم خرج مورد نیاز.

موقعیت	جنس قطعه کار	نوع ماده‌ی منفجره	جرم ماده‌ی منفجره	روش انرژی روش داگلاس روش عددی (gr) (gr) (gr)
قسمت سر	قطعه کار	فولاد	PETN	۱ ۰,۸۰۶ ۰,۴۱۹۴
قطعه کار	آلومینیوم	فولاد	TNT	۱ ۰,۹۳۵ ۰,۶۹۹۰
قطعه کار	آلومینیوم	فولاد	PETN	۰,۴ ۰,۴۵۰ ۰,۱۲۱۸
قطعه کار	آلومینیوم	فولاد	TNT	۰,۶ ۰,۵۲۲ ۰,۲۰۳۱
قسمت وسط	قطعه کار	فولاد	PETN	۱/۳ ۱,۸۴۲ ۲,۱۱۶۰
قطعه کار	آلومینیوم	فولاد	TNT	۲,۵ ۲,۱۳۶۷ ۳,۵۲۷
قطعه کار	آلومینیوم	فولاد	PETN	۰,۵ ۰,۵۸۷۶ ۰,۷۳۷
قطعه کار	آلومینیوم	فولاد	TNT	۰,۷ ۰,۶۸۱۶ ۱,۲۲۰

داگلاس و آنالیز عددی برای قسمت‌های سر و وسط قطعه آورده شده است. با توجه به چیدمان‌های ماده‌ی منفجره (جدول‌ها ۵ و ۶)، خرچ‌گذاری قسمت سر و وسط بر یکدیگر اثر می‌گذارد. لذا برای مقایسه‌ی سه روش و انتخاب فرایند بهینه، مقدار خرچ‌های سر و وسط با هم جمع شد. سپس خطای روش عددی نسبت به دو روش دیگر محاسبه شد (جدول ۸). نمودار این نتایج در شکل ۵ رسم شده است.

فرلوان -- نظری تحلیل دینامیکی غیرخطی اجزاء محدود با نزد کرنش بالا -- برخوردار است و به همین لحاظ، برای شبیه‌سازی فرایند شکل دهنده انفجاری بسیار مناسب است.

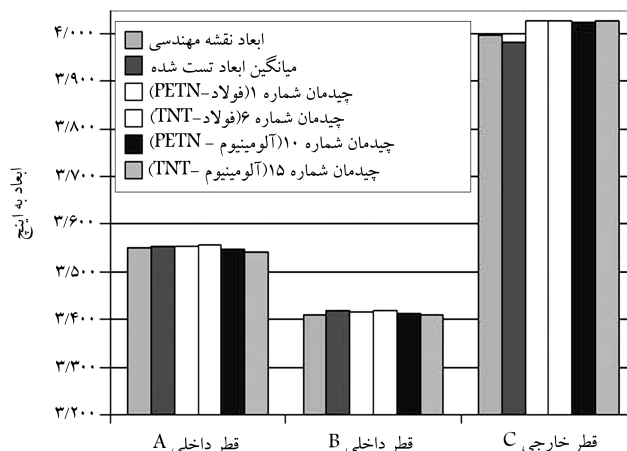
برای چهار پارامتر موجود -- ماده‌ی منفجره، محیط واسط (آب)، قطعه‌ی استوانه‌یی و قالب -- مدل مادی و معادله‌ی حالت مناسب تعریف شد. برای ماده‌ی منفجره، مدل مادی با شدت انفجار بالا<sup>۸</sup> و معادله‌ی حالت JWL<sup>۹</sup>، برای آب مدل مادی نول<sup>۱۰</sup> و معادله‌ی حالت مای-گونینس<sup>۱۱</sup>، برای قطعه‌ی استوانه‌یی مدل مادی خمیری سینماتیک<sup>۱۲</sup> (کوبر سیمونندز<sup>۱۳</sup>) و برای قالب مدل مادی کشسان تعریف شد. برای فلز (قطعه‌کار و قالب) به دلیل ثابت بودن حجم معادله‌ی حالت در نظر گرفته نمی‌شود.<sup>[۲۲]</sup> در این تحقیق هیچ‌جهه آنالیز انجام شد. در هر آنالیز پارامترهای مانند جرم ماده‌ی منفجره، نوع ماده‌ی منفجره (PETN و TNT) و جنس قطعه‌کار (فولاد ۳۲۱ و آلومینیوم ۶۰۶۱) تغییر داده شد.

### نتایج آنالیز عددی

نتایج عددی به دست آمده در ارتباط با فرایند تغییر شکل انفجاری برای تولید محصول با استفاده از PETN و TNT، به ترتیب در جدول‌های ۵ و ۶ ارائه شده است. در جدول ۷ جرم ماده‌ی منفجره‌ی به دست آمده طی سه روش انرژی، روش

جدول ۸. مقادیر جرم خرج مورد نیاز برای شکل دهی و بررسی خطاهای.

خطای روش عددی %	جرم ماده‌ی منفجره			نوع ماده‌ی منفجره	جنس قطعه‌کار
	روش انرژی (gr)	روش داگلاس (gr)	روش عددی (gr)		
در مقایسه با در مقایسه با روش انرژی روش داگلاس	۲,۳	۲,۶۴۸	۲,۵۳۵۴	PETN	فولاد
-۱۳,۱۴ -۹,۲	۳,۵	۳,۰۷۲	۴,۲۲۶	TNT	
۱۳,۹۳ -۱۷,۱۸	۰,۹	۱,۰۳۷۶	۰,۸۵۸۸	PETN	آلومینیوم
-۱۳,۲۶ ۴,۷۹	۱,۳	۱,۲۰۳۶	۱,۴۳۳۱	TNT	
۹,۶۴ -۹,۲۸					



شکل ۶. نمودار مقایسه‌ی ابعاد محصول تولید شده از طریق انفجار حقیقی و آنالیز عددی (انفجار مجازی)، با ابعاد واقعی در نقشه‌ی مهندسی.

جدول ۱۰. خطای ابعاد آزمون عملی و آنالیز عددی نسبت به نقشه‌ی مهندسی.

خطای آنالیز عددی (%)	خطای تست	موقعیت در شکل ۳
خطای مهندسی (%)	نسبت به	
جنس فولاد ۳۲۱	چیدمان ۱۵	چیدمان ۱
TNT PETN	TNT PETN	نقشه مهندسی
۶۰۶۱	۳۲۱	(%)
+۰,۱۳ +۰,۱۷	-۰,۰۵۶	+۰,۰۸
+۰,۲۰۵ +۰,۲۳۵	+۰,۰۵۹	+۰,۲۳۴
+۰,۷۰۰ +۰,۷۵۰	+۰,۶۲۵	-۰,۴۰
		قطر داخلی A
		قطر داخلی B
		قطر خارجی C

ون میسر در قطعه‌کار مربوط به این دو چیدمان و در زمان‌های مختلف، به ترتیب در شکل‌های ۹ و ۱۰ ارائه شده است.

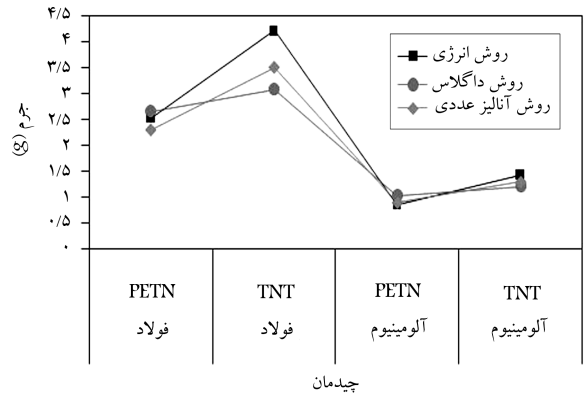
### انتخاب جنس قالب

انتخاب جنس قالب براساس دو پارامتر تنش تسلیم ماده محصول و تیراز تولید صورت می‌گیرد (جدول ۱۱). [۲]

### آنالیز تنش و کرنش در قالب

در عملیات شکل دهی، تنش بیشینه در قالب نباید از تنش تسلیم ماده محصولی باشد. به عبارت دیگر، قالب همواره باید در ناحیه‌ی کشسان باشد تا محصولی

نمودار مقایسه جرم ماده منفجره مورد نیاز، با سه روش انرژی، روش داگلاس و آنالیز عددی



شکل ۵. نمودار مقایسه جرم ماده منفجره مورد نیاز به سه روش انرژی، داگلاس و آنالیز عددی.

### بررسی ابعاد قطعه‌کار

در جدول ۹ نتایج ابعاد هندسی محصول تولید شده بعد از انفجار مجازی نوشته شده است. در شکل ۶ مقادیر ابعاد به دست آمده حاصل از تولید فیزیکی و آنالیز عددی، با ابعاد نقشه‌ی مهندسی بر روی نمودار مقایسه شده است. خطای مربوط به این دو روش نیز در جدول ۱۰ محاسبه شده است.

### آنالیز تنش و کرنش در قطعه‌کار

کانتور تنش و نمیسر مربوط به قطعه‌کار در دو چیدمان مطلوب (چیدمان شماره ۱ از جنس فولاد ۳۲۱ و خرج PETN، و خرج ۸۶,۷۹۲) و چیدمان شماره ۱۵ از جنس آلومینیوم و خرج (TNT) به ترتیب در شکل‌های ۷ و ۸ نمایش داده شده است. بیشینه تنش

جدول ۹. نتایج ابعاد آنالیز عددی.

شماره چیدمان	۱	۱۰	۶	۱۵
جنس قطعه‌کار	فولاد	TNT	PETN	آلومینیوم
نوع خرج	A	B	C	
قطر داخلی	۹۰,۲۷۲	۹۰,۳۴۸	۹۰,۱۱۹	۸۹,۹۶۷
قطر داخلی	۸۶,۷۹۲	۸۶,۸۱۷	۸۶,۶۶۵	۸۶,۶۱۴
قطر خارجی	۱۰۲,۳۱۱	۱۰۲,۳۶۲	۱۰۲,۲۳۵	۱۰۲,۳۳۷



شکل ۹. نمودار بیشینه نشش ون میسز، چیدمان شماره ۱.



شکل ۱۰. نمودار بیشینه نشش ون میسز، چیدمان شماره ۱۵.

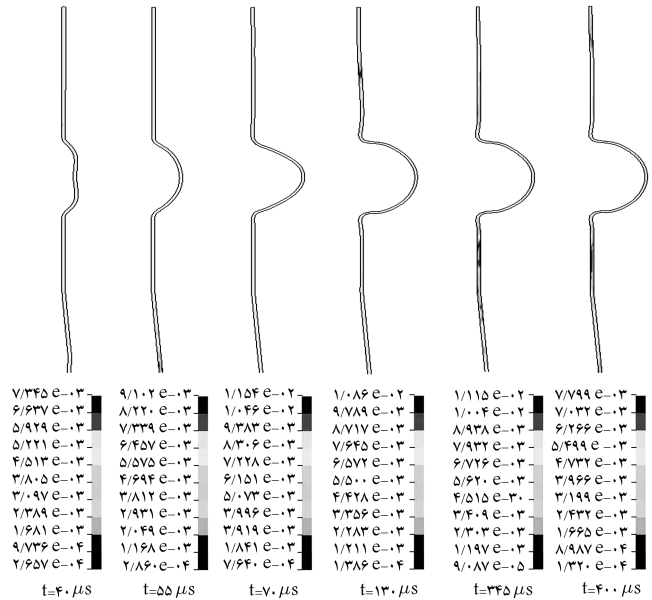
جدول ۱۱. جنس ماده‌ی قالب بر حسب استحکام قطعه و حجم تولید.<sup>[۲]</sup>

تعداد قطعه	نشش تسليم ماده‌ی مورد شکل دهی (MPa)	نام	جنس
۴۱۴	۶۹-۲۰۷	۲۰۷-۴۱۴	و بالاتر
۱-۱۰	۷/۳۴۵ e-۰۳	Kirksite	فولاد ریختگری
۱۰-۲۰	۸/۱۰۲ e-۰۳	Kirksite	فولاد ریختگری
۲۰-۱۰۰	۹/۷۹۹ e-۰۳	Kirksite	فولاد ریختگری

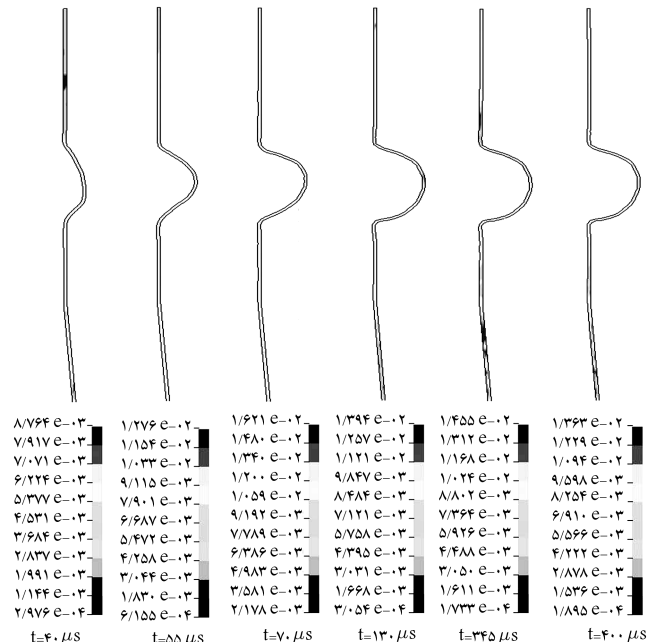
اراهه داده است. با توجه به شکل ۵، از مقایسه‌ی نتایج آنالیز عددی با دو روش انرژی و داکلاس، می‌توان نتیجه گرفت که برای تغییر شکل قطعه‌ی فولادی، بهتر است از ماده‌ی منفجره PETN، و برای تغییر شکل قطعه‌ی آلومینیومی از هر دو ماده‌ی منفجره‌ی PETN و TNT استفاده شود. روش اجراء محدود نشان‌گر درصد خطای بالایی برای تولید قطعات فولادی با ماده‌ی منفجره‌ی TNT است. لذا تولید قطعات فولادی با ماده‌ی منفجره‌ی TNT به دلیل بالا بودن خطای آنالیز عددی نسبت به دو روش دیگر توصیه نمی‌شود. مقادیر جرم ماده‌ی منفجره که در این نوشتار محاسبه شده، در حد ایده‌آل است. عالمًا باید مقادیر ماده‌ی منفجره انتخاب شده قدری بیشتر از مقدار محاسبه شده باشد؛ زیرا تجربه نشان داده که مقدار بسیار کم ماده‌ی منفجره‌گاهی منفجر نمی‌شود.

با توجه به شکل ۶، مقایسه‌ی ابعاد محصول تولیدشده با انفجار حقیقی و شبیه‌سازی عددی، تطابق خوبی نشان می‌دهد. با توجه به نتایج جدول ۱۰، به منظور تولید این قطعه از جنس فولاد، ماده‌ی منفجره TNT توصیه می‌شود (چیدمان شماره ۱۰). این چیدمان نسبت به چیدمان شماره ۱ دارای ابعادی کم‌تری است. به منظور تولید این قطعه از جنس آلومینیوم ماده‌ی منفجره TNT توصیه می‌شود (چیدمان شماره ۱۵). این چیدمان نیز نسبت به چیدمان شماره ۶ دارای خطای ابعادی کم‌تری است.

در میان چهار چیدمان مربوط به آنالیز عددی، کمترین خطای ابعادی مربوط



شکل ۷. تراز نشش ون میسز، چیدمان شماره ۱.

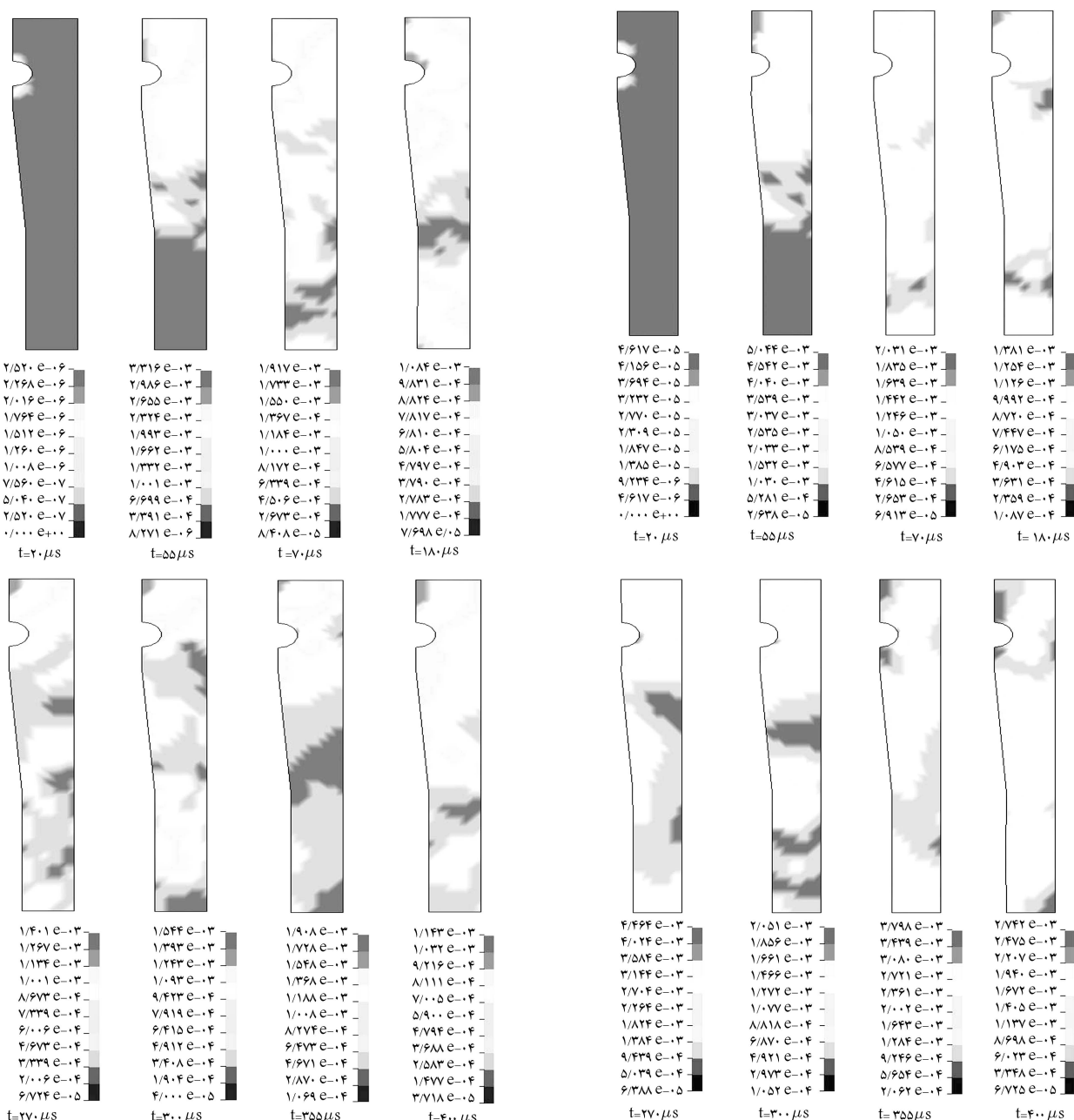


شکل ۸. تراز نشش ون میسز، چیدمان شماره ۱۵.

با ابعاد مورد نظر تولید شود. با توجه به نتایج عددی، تراز و مقادیر نشش ون میسز مربوط به قالب از جنس فولاد ریختگری نسبت به زمان به ترتیب مطابق شکل‌های ۱۱ و ۱۲ است. به همین ترتیب، تراز و مقادیر نشش ون میسز مربوط به قالب از جنس Kirksite نسبت به زمان به ترتیب مطابق شکل‌های ۱۳ و ۱۴ است.

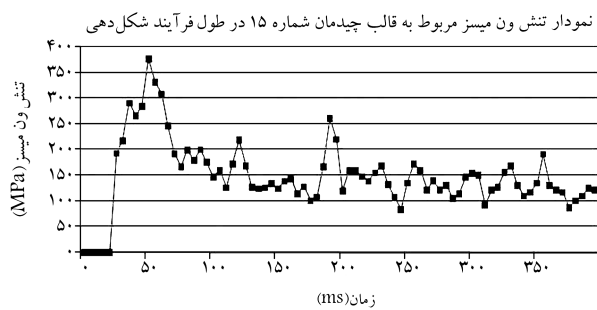
## بحث

بررسی نتایج ثبت شده در جدول ۸ نشان می‌دهد که آنالیز عددی نسبت به روش‌های انرژی و داکلاس، تخمین بسیار خوبی را برای انتخاب نوع و جرم ماده‌ی منفجره

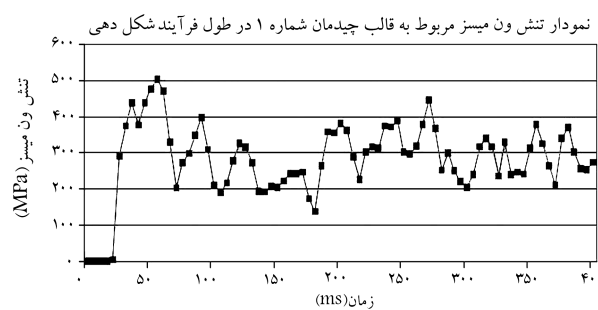


شکل ۱۳. تراز تنش ون میسز قالب از جنس فولاد ریخته‌گری، مربوط به چیدمان شماره ۱۵.

شکل ۱۳. تراز تنش ون میسز قالب از جنس فولاد ریخته‌گری، مربوط به چیدمان شماره ۱.



شکل ۱۴. مقادیر تنش ون میسز قالب از جنس فولاد ریخته‌گری، مربوط به چیدمان شماره ۱۵.



شکل ۱۵. مقادیر تنش ون میسز قالب از جنس فولاد ریخته‌گری، مربوط به چیدمان شماره ۱.

۲. خرج گذاری قسمت سرو وسط از یکدیگر مستقل نیستند. با ثابت نگه داشتن جرم خرج قسمت سرو و افزایش جرم خرج قسمت وسط، میزان تغییر شکل قسمت سرنیز افزایش می‌باشد. هنگامی که فاصله‌ی دو نقطه‌ی خرج گذاری به اندازه کافی زیاد باشد، ممکن است اثرات آن‌ها بر یکدیگر بتوان صرف نظر کرد.
۳. برای دقت ابعادی بیشتر، بهتر است از ماده‌ی منفجره‌ی TNT استفاده شود. برای قطعه‌کار فولادی، چیدمان ۱۵ و برای قطعه‌کار آلومینیومی چیدمان ۱۵ توصیه می‌شود که کمترین خطای ابعادی را نسبت به نقشه‌ی مهندسی قطعه‌کار دارند.
۴. صافی سطح و یکنواختی شکل در قطعات فولادی بالاتر از قطعات آلومینیوم است.
۵. حساسیت فلزات به نزخ کرنش سبب افزایش تنش شکست در فلزات می‌شود. این پدیده از رابطه‌ی کوبر-سیمونند تعیین می‌کند.
۶. کمترین نزخ کرنش برابر ۴۷۹۰ بر ثانیه (مربوط به چیدمان شماره ۱۵) و بیشترین نزخ کرنش برابر با ۵۵۰ بر ثانیه (مربوط به چیدمان شماره ۱۰) است. هرگاه بیشترین نزخ کرنش مورد نظر باشد چیدمان ۱۵، و هرگاه کمترین نزخ کرنش مورد نظر باشد چیدمان ۱۵ پیشنهاد می‌شود.
۷. زمان مغاید شکل دهی در چیدمان‌های مورد قبول، تقریباً ۱۲۵ میکروثانیه است. مابقی زمان تا ۴۰۰ میکروثانیه صرف کوبش و کمک‌دن برگشت فنری می‌شود.
۸. با توجه به مقایسه‌ی نتایج در جدول ۸، بهتر است برای تغییر شکل قطعه‌ی فولادی از ماده‌ی منفجره‌ی PETN و برای تغییر شکل قطعه‌ی آلومینیومی از هر دو ماده‌ی منفجره‌ی PETN و TNT استفاده شود.
۹. آنالیز عددی نسبت به روش‌های انرژی و داگلاس، تخمین سیار خوبی برای انتخاب جرم ماده‌ی منفجره ارائه داده است. در عمل باید مقدار ماده‌ی منفجره را قدری بیشتر از مقدار محاسبه شده در نظر گرفت. این مقدار با تجربه به دست می‌آید و بستگی به شرایط آزمایش دارد.
۱۰. انتخاب جنس قالب براساس تنش تسلیم ماده‌ی محصول و تیراز تولید صورت گرفته است. بنابراین، برای تولید قطعه از جنس فولاد ۳۲۱ قالب از جنس فولاد ریخته‌گری، و بهمنظور تولید قطعه از جنس آلومینیوم ۶۰۶۱، قالب از جنس Kirksite انتخاب شده است.

## فهرست علائم

$P_y$ : فشار استاتیک Pa

$t$ : ضخامت اولیه ورق قطعه کار m

$D$ : قطر داخلی قطعه کار m

$P_{ex}$ : فشار دینامیک معادل داگلاس Pa

$K$ : ضریب تصحیح فشار دینامیکی

$w$ : جرم خروج Kg

$E_T$ : انرژی حاصل از انفجار J

$c$ : ضریب مربوط به نوع ماده‌ی منفجره

$S$ : نصف طول استوانه m

$J$ : انرژی کرنش تغییر شکل J

$n, K_2$ : ضرایب کرنش سختی فلز

به چیدمان شماره ۱۰ است. این چیدمان در قسمت‌های A و B خطای ابعادی کمتری نسبت به آزمون عملی نیز دارد.

با توجه به شکل‌های ۹ و ۱۰، بررسی آنالیز عددی نشان داد که در زمان ۱۲۵ میکروثانیه، کرنش خمیری ثابت می‌ماند. دلیل این امر رسیدن قطعه کار به ته حفره‌ی قالب و ختم شکل دهی است. مابقی زمان تا ۴۰۰ میکروثانیه صرف کوبش و کاشهش برگشت فنری می‌شود. بیشینه‌ی کرنش در چهار چیدمان ذکرشده در حدود ۴۵٪ است.

مطابق جدول ۱۱، با فرض این که تعداد قطعه‌ی مورد نیاز ۲۵ عدد است و تشن تسليم مربوط به فولاد و آلومینیوم به ترتیب برابر ۲۷۵/۹۹۷ و ۱۵۴/۹۹۴ است، جنس ماده‌ی قالب مربوط به قطعه‌ی فولادی از نوع فولاد ریخته‌گری، و جنس قالب مربوط به قطعه‌ی آلومینیومی از نوع Kirksite انتخاب می‌شود. اگر بخواهیم از یک قالب برای تولید هر دو جنس استفاده کنیم، قالب از نوع فولاد ریخته‌گری مناسب است. با توجه به شکل‌های ۱۱ تا ۱۴ نکات قابل ذکر عبارت‌اند از:

۱. مطابق انتظار، تشن بیشینه در قالب فولادی در چیدمان شماره ۱، از ۵۰ مگاپاسکال تجاوز نمی‌کند (تش تسليم ماده قالب مساوی ۵۲۳ مگاپاسکال است).<sup>۲۳</sup> فولادهای ریخته‌شده‌ی قالب نیز چون دارای تشن تسليم بالاتر از این مقدار هستند، انتخاب شده‌اند؛ درنتیجه قالب در شرایط مطلوبی قرار دارد. از طرفی می‌توان گفت که قسمت سر قالب نسبت به قسمت وسط حساس‌تر است. اگر قبل از تولید، در قسمت سر قالب عملیات سخت‌کاری انجام شود، نتایج بهتری در تولید فیزیکی به دست می‌آید.

۲. تشن بیشینه در قالب با جنس Kirksite در چیدمان شماره ۱۵، از ۳۷۷ مگاپاسکال تجاوز نمی‌کند (تش تسليم ماده قالب مساوی ۳۷۹ مگاپاسکال است).<sup>۲۳</sup> انتخاب جنس Kirksite نیز به دلیل این که تشن تسليم بالاتر این مقام را دارد صورت گرفته است.

۳. نقاط بحرانی قالب در هر نوع جنس در قسمت سر قرار دارد. این نقاط در قسمت‌های تقریباً نیز قالب و در انتهای گودی قسمت سر قرار دارد. لازم است قبل از تولید فیزیکی، عملیات سخت‌کاری در این نقاط انجام گیرد.

۴. تغییرات در مقدار تشن بعد از مقدار بیشینه‌ی آن، به دلیل انعکاس موج داخل استوانه است. انفجار داخلی در مقایسه با انفجار خارجی با فاکتور شوک یکسان، دارای شدت اثر بالاتری است، که دلیل آن پدیده‌ی انعکاس موج است. در این تحقیق همان‌طور که گفته شد، مقادیر تشن حاصل از انعکاس از مقدار تشن حاصل از موج مستقیم پایین‌تر است؛ این پدیده به کمک‌دن برگشت فنری کمک به سرایی می‌کند و آثار مطلوب دارد.

## نتیجه‌گیری

برای تولید ۲۵ قطعه، تولید از نوع تولید متوسط یا دسته‌بی است. لذا، برای اقتصادی بودن فرایند توصیه می‌شود تولید از طریق شکل دهی انفجاری انجام گیرد. از طرف دیگر با توجه به پیچیدگی قطعه، روش انفجاری مناسب‌ترین روش برای تولید آن قطعه است. علاوه بر آن، موارد ذیل را می‌توان نتیجه‌گیری کرد:

۱. از مجموعه چیدمان‌های ذکر شده در این مقاله (جدول‌های ۵ و ۶)، چیدمان‌های ۱ و ۱۰ برای تولید برآمدگی‌لوله از جنس فولاد زنگ‌زن، و چیدمان‌های ۶ و ۱۵ برای تولید برآمدگی‌لوله از جنس آلومینیوم ۶۰۶۱ مناسب‌اند.

شعاع داخلی قالب :  $r$   
 تنش تسلیم فلز Pa :  $\sigma_y$   
 نصف طول خروج خطی m :  $\lambda$   
 $\varepsilon_{eff}, \varepsilon_\theta, \varepsilon_r, \varepsilon_T$ : کرنش موثر، محیطی، شعاعی، ضخامتی

قطر داخلی قالب m :  $D_d$   
 مساحت' m<sup>2</sup> :  $A$   
 $4 \leq X \leq 6$  : ضریب اطمینان X  
 شعاع خارجی قالب m :  $R$

## پابلوشت

1. Epoxy Resin
2. shock wave
3. high strain rate
4. impulsive loading
5. shell element
6. Jacobian
7. aspect ratio
8. high explosive
9. Jones-Wilkins-Lee (JWL)
10. Null material model
11. Mie-gruneisen
12. plastic kinematics
13. Cowper Symonds

## منابع (References)

1. Rinehart, J.S. and Pearson, J., *Explosive Working of Metals*, Macmillan Company, New York (1963).
2. Javabvar, D. and Liaghat, G.H. "Introduction to explosive forming", Imam-hossein University Press (2004).
3. Zohoor, M. "Metalworking", Second Edition, K.N. Toosi University of Technology Press (2008).
4. Neubauer, A. "New processes for explosive metal forming of sheet parts in batch production", *Advanced Technology of Plasticity*, **1**, pp. 379-384 (1984).
5. Baro, HG. And E.del, C. "Explosive forming" *Metallurgical Review*, **8**, (1963).
6. Pipher, F.C. "Lockheed aircraftcorpn", A.M.C. Tech. Rep., 60-7-588 (1960).
7. Brayane, B.J. "Epoxy dies for explosive forming", *The Tool Engineer*, **2**, pp. 97-102 (1960).
8. Blazynski, T.Z. "Experimental and theoretical development of high-energy rate forming processes", *The Engineer*, pp. 1117-1127 (1964).
9. Mynors, D.J. and Zhang, B. "Applications and capabilities of explosive forming", *Journal of Materials Processing Technology*, **125-126**, pp. 1-25 (2002).
10. Akbari Mousavi, S.A.A.; Riahi, M. and Hagh Parast, A. "Experimental and numerical analyses of explosive free forming", *Journal of Materials Processing Technology*, **187-188**, pp. 512-516 (2007).
11. Moshksar, M.M. and Borji, S. "End effect in the explosive forming of tubes", *Journal of Materials Processing Technology*, **42**, pp. 431-441 (1994).
12. Karagiozova, D.; Nurick, G.N. and Chung Kim Yuen, S. "Energy absorption of aluminium alloy circular and square tubes under an axial explosive load", *Thin-Walled Structures*, **43**, pp. 956-982 (2005).
13. Borgi, S. "Experimental development of explosive forming for production of metallic lenses using male die", *Journal of High Energy-rate Materials, Tehran*, **5**(1), (2010).
14. Zohoor, M. and Mehdipoor, A. "Explosive compaction of tungsten powder using a converging underwater shock wave", *Journal of Materials Processing Technology*, **209**(8), pp. 4201-4206 (2009).
15. Zohoor, M. and Mehdipoor, A. "Comparative study on particles bonding of tungsten samples which were produced by powder metallurgy method and underwater explosive compaction technique", *Association of Metallurgical Engineers of Serbia, Metalurgija Journal of Metallurgy*, **13**(3), pp. 197-202 (2008).
16. Zohoor, M. and Mehdipoor, A. "Numerical simulation of underwater explosive compaction process for compaction of tungsten powder", *Journal of Materials Science Forum*, **566**, pp. 77-82 (2008).
17. Zohoor, M. and Mehdipoor, A. "Compaction of tungsten powder using an explosive compaction setup and numerical simulation of the process", *WSEAS Transactions on Applied and Theoretical Mechanics, ISSN: 1991-8747*, **1**(1), pp. 62-69 (2008).
18. Mehdipoor Omrani, A.; Zohoor, M.; Khalili, S.M.R. and Parvin, N. "Theoretical analysis of explosive compaction of tungsten powder", *Journal of Mechanical and Aerospace, Tehran*, **3**(1), pp.23-32 (2007).
19. Sheikhi Kohsar, A.; Zohoor, M. and Rezvani, M., *Experimental Study of Underwater Explosion on Circular Steel Plates*, International Conference on Advanced Manufacturing and Automation, Kalasalingam University, Krishnankoil-626190, Tamil Nadu, India (2009).
20. Zohoor, M. and Eshkevar, S.A., *Determination of Mass Quantity and Shape of the Explosive Materials for Manufacturing of Cylindrical Shells by Using Explosive Forming*, 10th Annual International Mechanical Engineering Conference, ISME (2002).
21. Altair Engineering, Inc. "HyperMesh advanced training", (2001).
22. Livemore Software Technology Corporation, "LS-DYNA keyword user's manual", **1**, V. 970 (2003).
23. Hoyt Samuel, L., *American Society of Mechanical Engineering (ASME)*, Mc Graw-Hill Book Company Inc., Newyork, Toronto, London (1967).